

طراحی کنترل کننده غیرخطی تطبیقی جهت همزمان‌سازی مقاوم سیستم‌های آشوبی در حضور اشباع محرک

سمانه محمدپور^۱، دانشجوی کارشناسی ارشد؛ طاهره بینازاده^۲، دانشیار

۱- دانشکده مهندسی برق و کامپیوتر - دانشگاه صنعتی شیراز - شیراز - ایران - s.mohamadpor@sutech.ac.ir

۲- دانشکده مهندسی برق و کامپیوتر - دانشگاه صنعتی شیراز - شیراز - ایران - binazadeh@sutech.ac.ir

چکیده: رویکرد تحلیلی مطرح در این مقاله مسئله همزمان‌سازی مقاوم سیستم‌های آشوبی در حضور قیود عملی است. قیودی که این مقاله در روند مطالعه همزمان‌سازی در نظر می‌گیرد قید اشباع محرک، اغتشاشات خارجی و عدم قطعیت‌های مدل است. همزمان‌سازی بین دو سیستم غیرخطی اصلی و پیرو رخ می‌دهد و قانون کنترلی به نحوی طراحی می‌گردد که متغیرهای حالت سیستم پیرو متغیرهای حالت سیستم اصلی را در حضور ترم‌های نایقینی با در نظر گرفتن قید اشباع محرک دنبال کنند. از این‌رو بر اساس مدل خطأ سطح لغزش و قانون کنترلی مقاوم و قوانین تطبیقی به نحوی طراحی می‌گردد که همزمان‌سازی مقاوم رخ دهد. برای این منظور قضیه‌ای ارائه شده است و بر اساس رویکرد لیاپانوفی اثبات گردیده است که خطای همزمان‌سازی علی‌رغم وجود ترم‌های نایقینی با قید اشباع محرک به صفر می‌رسد. بهمنظور نشان دادن کارایی عملی رویکرد مطرح شده، روش مذکور بر روی سیستم عملی ژیروسکوپ که رفتار آشوبی دارد پیاده‌سازی می‌شود و شبیه‌سازی کامپیوتری، کارایی مناسب قانون پیشنهادی را در همزمان‌سازی مقاوم سیستم عملی مذکور نشان می‌دهند.

واژه‌های کلیدی: سیستم‌های آشوبی، همزمان‌سازی، کنترل مد لغزشی، اشباع محرک، تابع لیاپانوف.

Adaptive Nonlinear Controller Design for Robust Synchronization of Chaotic Systems in the Presence of Actuator Saturation

S. Mohammadpour¹, MSc Student; T. Binazadeh², Associate Professor

1- Faculty of Electrical and Computer Engineering, University of Shiraz, Shiraz, Iran, Email: s.mohamadpor@sutech.ac.ir

2- Faculty of Electrical and Computer Engineering, University of Shiraz, Shiraz, Iran, Email: binazadeh@sutech.ac.ir

Abstract: The analytic approach proposed in this paper is synchronization of chaotic systems in the presence of practical constraints. Constraints that this paper is considered on the study of synchronization are: actuator saturation, presence of external disturbances and model uncertainties. The synchronization happens between the two nonlinear master and slave systems. Control law is designed in such a way that the state variables of the slave system follow the state variables of the master system in the presence of uncertainty and external disturbances and by considering the actuator saturation constraint. Therefore, based on the error model, sliding surface, robust control law and adaptive laws are designed in a way that robust synchronization occurs. For this purpose, a theorem is proposed and according to the Lyapunov approach it is proved that the synchronization error despite the uncertainty terms reaches zero by actuator saturation constraint. In order to show the practical performance of proposed approach, the aforesaid method is based on practical system of gyros that chaotic behavior is implemented and the computer simulations show proper performance of the proposed law in robust synchronization of aforesaid practical system.

Keywords: Chaotic systems, synchronization, sliding mode control, saturation on actuator, Lyapunov function.

تاریخ ارسال مقاله: ۱۳۹۵/۰۷/۰۶

تاریخ اصلاح مقاله: ۱۳۹۵/۰۴/۰۹ و ۱۳۹۵/۰۵/۱۹

تاریخ پذیرش مقاله: ۱۳۹۵/۰۷/۱۵

نام نویسنده مسئول: طاهره بینازاده

نشانی نویسنده مسئول: ایران - شیراز - بلوار مدرس - دانشگاه صنعتی شیراز - دانشکده مهندسی برق و کامپیوتر.

۱- مقدمه

مطالعه می‌شود. مراجع [۲۸، ۲۷] همزمان‌سازی کلاس خاصی از سیستم‌های آشوبی را در حضور ورودی اشباع بررسی کرده‌اند؛ اما عمدتاً این مراجع مسئله همزمان‌سازی را به صورت یک سیستم غیرخطی کلی با در نظر گرفتن قید اشباع نامتقارن محرک و همزمان لحاظ کردن ترم‌های نایقینی (عدم قطعیت‌های مدل و اغتشاشات خارجی) بررسی نکرده‌اند.

در این مقاله سیستم‌های اصلی و پیرو دارای ترم‌های نایقینی (ناشی از عدم قطعیت‌های پارامتری و اغتشاشات خارجی) می‌باشند. هدف همزمان‌سازی دو سیستم اصلی و پیرو با در نظر گرفتن اشباع ورودی کنترلی است که حد بالا و پایین این اشباع می‌تواند یکسان نباشد. برای این منظور بردار خط‌آشوبی کنترل شده و سطح لغزش بر اساس دینامیک خط‌آشوبی مذکور می‌شود. همچنین از آنجایی که این سیستم‌ها غیرخطی هستند و ماهیت آشوبی دارند و همچنین دارای ترم‌های نایقینی می‌باشند لذا جهت کم کردن میزان محافظه‌کاری در برخورد با این ترم‌های نایقینی از رویکرد تطبیقی نیز در این زمینه استفاده شده است و قوانین تطبیقی در این مقاله به نحوی طراحی می‌گردد که علی‌رغم اشباع محرک هدف مسئله (همزمان‌سازی سیستم‌های اصلی و پیرو) برآورده شود. برای این منظور قضیه‌ای در مقاله ارائه شده و بر اساس رویکرد لیپانوفی مسئله همزمان‌سازی در حضور قیود مطرح شده تضمین می‌گردد.

بحث همزمان‌سازی به منظور کاربردی بودن برای کلاسی از سیستم‌های آشوبی عملی نیز به کار می‌رود به عنوان مثال در مراجع [۳۱-۳۲] به کاربرد همزمان‌سازی بین دو سیستم ژیروسکوپ آشوبی^۱ با پارامترهای نامعین پرداخته است. در مرجع [۳۲] بحث همزمان‌سازی زمان محدود را برای این دو سیستم موردمطالعه قرار داده است، ولی هیچ‌کدام از این مراجع به کاربرد اشباع محرک در همزمان‌سازی سیستم‌های ژیروسکوپ نپرداخته‌اند. ازین‌رو نوآوری دیگری که در این مقاله وجود دارد و نشان‌دهنده کارایی روش پیشنهادی در سیستم‌های عملی است همزمان کردن دو سیستم آشوبی ژیروسکوپ در حضور ترم‌های نایقینی و قید اشباع نامتقارن محرک می‌باشد. درنهایت شبیه‌سازی‌های کامپیوتوری عملکرد مناسب قانون کنترل پیشنهادی در سیستم عملی مذکور را نشان می‌دهند.

۲- توصیف سیستم

هدف این مقاله همان‌طور که در مقدمه ذکر شد همزمان‌سازی دو سیستم آشوبی تحت اشباع محرک است. لذا در این بخش به معرفی دینامیک این سیستم‌ها پرداخته می‌شود.

دینامیک دو سیستم آشوبی اصلی (۱) و پیرو (۲) به صورت زیر است:

$$\begin{aligned} \dot{x}_i(t) &= x_{i+1}(t) \quad i = 1, 2, \dots, n-1 \\ \dot{x}_n(t) &= f(x, t) + \Delta f(x, t) + d_1(t) \end{aligned} \quad (1)$$

$$\begin{aligned} \dot{y}_i(t) &= y_{i+1}(t) \quad i = 1, 2, \dots, n-1 \\ \dot{y}_n(t) &= g(y, t) + \Delta g(y, t) + d_2(t) + \phi(u(t)) \end{aligned} \quad (2)$$

طی تحقیقات انجام‌شده در سال‌های اخیر این حقیقت که بعضی از سیستم‌های دینامیکی شرایط لازم برای آشوب‌گونه بودن را از خود نشان می‌دهند شناخته شده است. آشوب رفتاری به‌ظهور تصادفی وی‌نظم است که یک ویژگی منحصر به‌فرد این‌گونه سیستم‌ها وابستگی شدید آن‌ها به شرایط اولیه می‌باشد. آشوب در بسیاری از پدیده‌های دنیای واقعی رخ می‌دهد، ازین‌رو همزمان‌سازی سیستم‌های آشوبی در سال‌های اخیر توجه زیادی را جلب کرده است و در بسیاری از کاربردها مانند ارتباطات اینمن [۱، ۲]، کنترل و همزمان‌سازی ماهواره‌ها [۲]، رمزگاری اطلاعات [۴]، لیزر [۵] و دیگر کاربردها استفاده می‌شود [۶].

در کاربردهای مذکور دو سیستم آشوبی در نظر گرفته می‌شود. یک سیستم به عنوان سیستم اصلی^۲ و دیگری سیستم پیرو^۳ است. هدف از همزمان‌سازی، یعنی قانون کنترلی به نحوی طراحی گردد که خطای بین متغیرهای حالت متناظر در سیستم اصلی و سیستم پیرو به صفر همگرا شوند. این امر با روش‌های متفاوتی در مقالات پرداخته شده است، از جمله می‌توان به همزمان‌سازی بر اساس کنترل پسگام [۷، ۸]، همزمان‌سازی بر اساس رویکرد تطبیقی [۹، ۱۰]، همزمان‌سازی همراه با طراحی رویتگر [۱۱]، همزمان‌سازی تصویری [۱۲، ۱۳]، همزمان‌سازی مدل‌لغزشی [۱۴-۱۶]، همزمان‌سازی زمان گسسته [۱۷] و همزمان‌سازی نمایی [۱۸] اشاره نمود.

علی‌رغم این که ترم‌های نایقینی (اغتشاشات خارجی و عدم قطعیت‌های مدل) همواره در سیستم‌های فیزیکی وجود دارد [۱۹، ۲۰]، قیود و محدودیت‌هایی نیز عملکرد این‌گونه سیستم‌ها را تحت تأثیر قرار می‌دهد. محدودیت‌هایی از جمله یکی از محدودیت‌های ورودی‌های غیرخطی، اشباع محرک، ناحیه مرده^۴ و ... که اگر این قیود در روند طراحی کنترل کننده نادیده گرفته شوند و کنترل کننده به سیستم اعمال گردد ممکن است باعث افزایش بی‌دقیقی و بی‌ثباتی در پاسخ سیستم شود. به دلیل اینکه سیگنال کنترلی توسط محرک‌ها به سیستم اعمال می‌شود و محرک‌ها در روابط یک حد محدودی از سیگنال کنترلی را می‌توانند اعمال کنند ازین‌رو اگر سیگنال در قید دامنه محرک‌ها نباشد سیگنال کنترلی به اشباع می‌رود و درنتیجه عدم لحاظ کردن این مطلب در روند طراحی باعث می‌شود که کنترل کننده که به سیستم اعمال می‌شود پس از اشباع عملکرد خود را از دست بدهد و منجر به ناپایداری سیستم حلقه بسته گردد لذا در نظر گرفتن این نکات در روند طراحی اهمیت فراوانی دارد [۲۱، ۲۲].

در نظر گرفتن اشباع محرک در روند همزمان‌سازی در مراجع محدودی پرداخته شده است. به عنوان نمونه در مراجع [۲۴، ۲۲] طراحی کنترل کننده بر اساس شبکه‌های عصبی جهت همزمان‌سازی سیستم‌های آشوبی با اشباع ورودی پیشنهاد شده است. رویکرد کنترل تطبیقی پایدار فرآگیر سیستم‌های تک‌ورودی - تک‌خروجی مینیمم‌فاز با اشباع ورودی در مرجع [۲۵] بررسی می‌شود. قید اشباع و جبران آن در سیستم‌های غیرخطی با استفاده از منطق فازی در مرجع [۲۶]

$$\|\Delta f(x, t)\| < \lambda_1, \|\Delta g(y, t)\| < \lambda_2 \quad (8)$$

در نتیجه داریم:

$$\|\Delta f(x, t) - \Delta g(y, t)\| < \lambda \quad (9)$$

که در آن λ_1 و λ_2 ثابت مثبت ولی نامعلوم هستند.

تذکر ۱ [۱۴]: به طور کلی فرض ۳ یک فرض منطقی است. از آنجایی که مسیرهای فاز سیستم‌های آشوبی محدود هستند لذا می‌توان λ را یک ثابت به اندازه کافی بزرگ فرض کرد.

لم باربالات [۳۳]: اگر $w: R \rightarrow R$ یکتابع پیوسته برای $t > 0$ باشد و حد انتگرال $\lim_{t \rightarrow \infty} \int_0^t w(t) dt$ وجود داشته باشد و محدود باشد آنگاه داریم:

$$\lim_{t \rightarrow \infty} w(t) = 0 \quad (10)$$

هدف طراحی قانون کنترلی $u(t)$ به نحوی است که دو سیستم آشوبی (۱) و (۲) تحت تابع $\phi(u(t))$ هم‌زمان شوند. هم‌زمان شدن $e(t) = [e_1(t), e_2(t), \dots, e_n(t)]^T \in R^n$ معادل با این است که بردار خطای $e_i(t) = x_i(t) - y_i(t)$ ، $i = 1, 2, \dots, n$ که المان‌های آن عبارت است از همگرا شود، در واقع $\lim_{t \rightarrow \infty} \|e(t)\| = 0$.

۳- طراحی قانون کنترلی مقاوم تطبیقی

در این بخش ابتدا دینامیک خطای معرفی می‌شود و سپس قانون کنترل مقاوم غیرخطی $u(t)$ به نحوی طراحی می‌گردد که در حضور ترم‌های نایقینی و همچنین تابع غیرخطی ϕ عملکرد مقاومی داشته باشد و همگرایی متغیرهای بردارهای خطای به طور مجانی به سمت صفر را تضمین کند. از این‌رو دینامیک خطای از روابط (۱) و (۲) به صورت زیر به دست می‌آید:

$$\begin{aligned} \dot{e}_i(t) &= e_{i+1}(t) \quad i = 1, 2, \dots, n-1 \\ \dot{e}_n(t) &= f(x, t) - g(y, t) + \Delta f(x, t) \\ &\quad - \Delta g(y, t) + d_1(t) - d_2(t) - \phi(u(t)) \end{aligned} \quad (11)$$

رویکردی که در طراحی قانون کنترلی استفاده می‌شود، قانون کنترل مد لغزشی است که عملکرد مقاومی دارد. طراحی کنترل مد لغزشی شامل دو فاز است. فاز اول طراحی سطح لغزش به‌نحوی که حرکت روی سطح لغزش اهداف کنترلی را برآورده سازد. فاز دوم طراحی قانون کنترلی مناسب به‌نحوی که تضمین کند مسیرهای فاز در حضور عدم‌قطعیت و اغتشاشات در زمان محدود به سطح می‌رسند و بر روی آن باقی می‌مانند.

در اینجا معادله سطح لغزش بر اساس المان‌های بردار خطای به صورت زیر پیشنهاد می‌شود:

$$s(t) = e_n(t) + \sum_{i=1}^{n-1} c_i e_i(t) \quad c_i (i = 0, 1, 2, \dots, n-1) \quad (12)$$

همان‌طور که گفته شد در فاز اول باید سطح لغزش به نحوی طراحی شود که هدف کنترلی (همگرایی المان‌های بردار خطای به سمت صفر) را

که در این سیستم‌ها $y = [y_1, \dots, y_n] \in R^n$ و $x = [x_1, \dots, x_n] \in R^n$ و ϕ تابع تکه‌ای پیوسته از t و محلی لیپ شیتز از x است و همچنین ϕ تابع تکه‌ای از t و محلی لیپ شیتز از λ است، Δf و Δg ورودی کنترل، $d_1(t), d_2(t)$ اغتشاشات خارجی، ترم‌های غیرخطی یا دینامیک‌های مدل نشده سیستم می‌باشند و $\phi(u(t))$ تابع غیرخطی از ورودی است که بیانگر اشیاع متقارن یا نامتقارن محرك است و به صورت زیر تعریف می‌گردد:

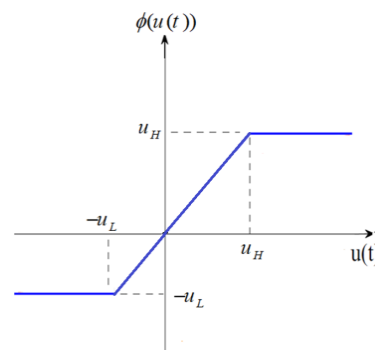
$$\phi(u(t)) = \begin{cases} u_H & \text{if } u(t) > u_H \\ u(t) & \text{if } -u_L \leq u(t) \leq u_H \\ -u_L & \text{if } u(t) < -u_L \end{cases} \quad (3)$$

که در آن $u_H, u_L \in R^+$ ثابت مثبت و معلوم هستند. شکل (۱) منحنی $\phi(u(t))$ را نشان می‌دهد که این تابع به صورت زیر نیز بیان می‌شود [۲۸، ۲۷]:

$$\phi(u(t)) = \beta(u(t))u(t) \quad (4)$$

$$\beta(u(t)) = \begin{cases} \frac{u_H}{u(t)} & \text{if } u(t) > u_H \\ 1 & \text{if } -u_L \leq u(t) \leq u_H \\ \frac{-u_L}{u(t)} & \text{if } u(t) < -u_L \end{cases} \quad (5)$$

لذا نتیجه می‌شود که $\beta(u(t)) \leq 1$ است.



شکل ۱: منحنی $\phi(u(t))$

فرض ۱: از آنجایی که $\beta(u(t)) \leq 1$ است همواره یک ثابت مثبت $\gamma > 0$ وجود دارد به‌نحوی که رابطه زیر برقرار است:

$$0 < \gamma < \beta(u(t)) \leq 1 \quad \forall u(t), t \in [0, \infty) \quad (6)$$

فرض ۲: اغتشاشات $(d_1(t), d_2(t))$ واردشده به هر یک از دو سیستم فیزیکی محدود هستند و همچنین تفاضل آن‌ها نیز محدود است [۱۴]:

$$\|d_1(t) - d_2(t)\| < d \quad (7)$$

که در آن d ثابت مثبت و معلوم است.

فرض ۳: تابع غیرخطی Δf ، Δg دارای حد بالای λ_1 و λ_2 هستند [۱۵، ۱۰]:

همچنین $(t) \hat{\lambda}$ نیز تخمینی از λ است لذا خطای تخمین به صورت زیر حاصل می‌شود:

$$\tilde{\lambda}(t) = \hat{\lambda}(t) - \lambda \quad (21)$$

$$\dot{\tilde{\lambda}}(t) = \dot{\hat{\lambda}}(t) \quad (22)$$

اثبات: اگر λ به صورت $\lambda = \frac{1}{2}s^2(t) + \frac{1}{2}\tilde{\lambda}^2(t) + \frac{1}{2}\gamma_2^2(t)$ در نظر گرفته شود مشتق آن به صورت زیر حاصل می‌شود:

$$\dot{V}(t) = \dot{s}(t)s(t) + \tilde{\lambda}(t)\dot{\tilde{\lambda}}(t) + \gamma_2(t)\dot{\gamma}_2(t) \quad (23)$$

با مشتق‌گیری از معادله $s(t)$ می‌توان نوشت:

$$\begin{aligned} \dot{s}(t) &= \dot{e}_n(t) + \sum_{i=1}^{n-1} c_i \dot{e}_i(t) = f(x, t) - g(y, t) \\ &+ \Delta f(x, t) - \Delta g(y, t) + d_1(t) \\ &- d_2(t) - \phi(u(t)) + \sum_{i=1}^{n-1} c_i e_{i+1}(t) \end{aligned} \quad (24)$$

جایگذاری رابطه (24) در (23) رابطه زیر را نتیجه می‌دهد:

$$\begin{aligned} \dot{V} &= s(t)(f(x, t) - g(y, t) + \Delta f(x, t) - \Delta g(y, t) \\ &+ d_1(t) - d_2(t) - \phi(u(t))) + \sum_{i=1}^{n-1} c_i e_{i+1}(t) \\ &+ \tilde{\lambda}(t)\dot{\tilde{\lambda}}(t) + \gamma_2(t)\dot{\gamma}_2(t) \leq |s(t)| \\ &\cdot (|f(x, t) - g(y, t)| + |\Delta f(x, t) - \Delta g(y, t)| \\ &+ |d_1(t) - d_2(t)| + \left| \sum_{i=1}^{n-1} c_i e_{i+1}(t) \right|) \\ &- \beta(u(t))u(t)s(t) + \tilde{\lambda}(t)\dot{\tilde{\lambda}}(t) + \gamma_2(t)\dot{\gamma}_2(t) \end{aligned} \quad (25)$$

رابطه $\phi(u(t)) = \beta(u(t))u(t)$ در معادله فوق جایگذاری شده است.

با قرار دادن قانون کنترلی (16) و رابطه $s(t)\operatorname{sgn}(s(t)) = |s(t)|$ در رابطه فوق می‌توان نوشت:

$$\begin{aligned} \dot{V} &\leq |s(t)|(|f(x, t) - g(y, t)| + |\Delta f(x, t) - \Delta g(y, t)| \\ &+ |d_1(t) - d_2(t)| + \left| \sum_{i=1}^{n-1} c_i e_{i+1}(t) \right|) \\ &- \beta(u(t))\gamma_1(t)\eta|s(t)| + \tilde{\lambda}(t)\dot{\tilde{\lambda}}(t) + \gamma_2(t)\dot{\gamma}_2(t) \end{aligned} \quad (26)$$

بنابراین از قرار دادن روابط (6)، (20) و (22) در رابطه فوق داریم:

$$\begin{aligned} \dot{V} &\leq |s(t)|(|f(x, t) - g(y, t)| + |\Delta f(x, t) - \Delta g(y, t)| \\ &+ |d_1(t) - d_2(t)| + \left| \sum_{i=1}^{n-1} c_i e_{i+1}(t) \right|) \\ &- \gamma\gamma_1(t)\eta|s(t)| + \tilde{\lambda}(t)\dot{\tilde{\lambda}}(t) - \gamma_2(t)\gamma_1^{-2}(t)\dot{\gamma}_1(t) \end{aligned} \quad (27)$$

با قرار دادن روابط تطبیقی (18)، (19) در رابطه فوق، نتیجه زیر حاصل می‌گردد:

تضمين کند، شرط حرکت روی سطح آن است که $s(t) = 0$ باشد (که در ادامه توسط قانون کنترلی مناسب این امر محقق می‌گردد).

$$s(t) = e_n(t) + \sum_{i=1}^{n-1} c_i e_i(t) = 0 \quad (28)$$

لذا با قرار گرفتن بر روی سطح فوق، رابطه زیر بین متغیرهای بردار خطأ بر روی سطح لغش حاصل می‌گردد:

$$e_n(t) = -\sum_{i=1}^{n-1} c_i e_i(t), \quad c_i (i = 0, 1, 2, \dots, n-1) \quad (29)$$

با توجه به روابط (11) و (14) معادلات حرکت روی سطح لغش که آن را معادلات کاهش مرتبه‌یافته می‌نامند به صورت زیر به دست می‌آید:

$$\begin{aligned} \dot{e}_1(t) &= e_2(t) \\ \dot{e}_2(t) &= e_3(t) \\ &\vdots \\ \dot{e}_{n-1}(t) &= e_n(t) \\ \begin{bmatrix} \dot{e}_1(t) \\ \dot{e}_2(t) \\ \vdots \\ \dot{e}_{n-1}(t) \end{bmatrix} &= \begin{bmatrix} 0 & 1 & 0 & 0 & \dots \\ 0 & 0 & 1 & 0 & \dots \\ \vdots & & \ddots & & \ddots \\ 0 & -c_1 & -c_2 & \dots & -c_{n-1} \end{bmatrix} \begin{bmatrix} e_1(t) \\ e_2(t) \\ \vdots \\ e_{n-1}(t) \end{bmatrix} \end{aligned} \quad (30)$$

بنابراین e_i باید به گونه‌ای انتخاب شود که ماتریس A هرویتز باشد در واقع قسمت حقیقی همه مقادیر ویژه چندجمله‌ای مشخصه ماتریس A ($|\alpha I - A| = \alpha^{n-1} + c_{n-1}\alpha^{n-2} + \dots + c_2\alpha + c_1$) منفی باشد. در این صورت المان‌های بردار $e_i = [e_1, \dots, e_{n-1}]^T$ به سمت صفر همگرا می‌شوند و با توجه به رابطه (14) نیز صفر می‌شود و هدف کنترلی پایدارسازی المان‌های بردار خطأ) محقق می‌گردد.

در ادامه بر اساس فاز دو قانون کنترلی (t) به نحوی طراحی می‌گردد که مسیرهای فاز سیستم (11) روی سطح لغش مذکور واقع شوند.

قضیه ۱: معادلات دینامیک خطای (11) با ورودی اشباع در نظر بگیرید. قانون کنترلی مقاوم (16) و قوانین تطبیقی (18) الی (20) تضمین می‌کنند که مسیرهای فاز سیستم (11) به سطح لغش همگرا می‌شوند.

$$u(t) = \gamma_1(t)\eta\operatorname{sgn}(s(t)) \quad (31)$$

$$\eta(t) = \left| \sum_{i=1}^{n-1} c_i e_{i+1}(t) \right| + |f(x, t) - g(y, t)| + d + \mu\hat{\lambda}(t) \quad (32)$$

$$\dot{\gamma}_1(t) = \eta(t)\gamma_1^3(t)|s(t)| \quad \gamma_1(0) \in R^+ \quad (33)$$

$$\dot{\hat{\lambda}}(t) = |s(t)| \quad \hat{\lambda}(0) = 0 \quad (34)$$

$$\dot{\gamma}_2(t) = -\gamma_1^{-2}(t)\dot{\gamma}_1(t) \quad (35)$$

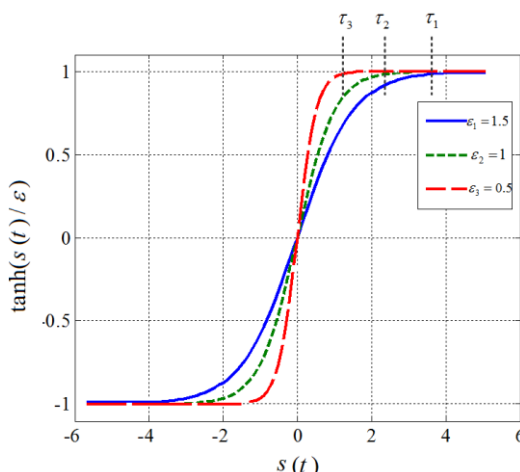
که در روابط فوق $\mu > 1$ و ثابت نیست. $\gamma_2(t) = \gamma_1^{-1}(t) - \gamma(t)$ تعريف می‌شود.

توجه به دلایل ذکر شده، فرض ۲ و همگرایی بردار خطای همزمان سازی به صفر، مقدار محدودی خواهد داشت و درنتیجه سیگنال کنترلی ($u(t)$) محدود است. شبیه سازی هایی که در انتهای مقاله شبیه سازی هایی ارائه می شوند مؤید این مطلب است.

تذکر ۳: از آنجایی که قانون کنترلی (۱۶) شاملتابع علامت $\text{sgn}(s(t))$ گستته است به عنوان یک سوئیچ سخت باعث ایجاد پدیده چترینگ می شود، برای جلوگیری از این پدیده تقریب همواری از آن مانند تابع پیوسته $\tanh(s(t)/\varepsilon)$ جایگزین می شود؛ بنابراین قانون (۱۶) به صورت زیر اصلاح می شود:

$$u(t) = \gamma_1(t)\eta \tanh\left(\frac{s(t)}{\varepsilon}\right) \quad (۳۲)$$

که در $\bar{\varepsilon} > 0$ است. همان طور که در شکل (۲) مشاهده می شود تابع $\tanh(s(t)/\varepsilon)$ تقریب پیوسته ای از تابع گستته $\text{sgn}(s(t))$ است که هرچه ε کوچک تر انتخاب شود این تقریب دقیق خواهد بود. همان طور که مشاهده می شود در ناحیه $|s| \geq \tau$ تقریب $\tanh(s(t)/\varepsilon) = \text{sgn}(s(t))$ تقریباً برقرار است و با کاهش ε صحت این تقریب برای ناحیه بزرگتری (معادل با τ کوچک تر) برقرار خواهد شد. لذا اثبات های ارائه شده در قضیه مذکور با این تقریب تضمین می کند که با گذشت زمان دامنه سطح لغزش کاهش یافته و در ناحیه مرزی $\tau \leq |s| \leq \bar{\varepsilon}$ (که در مقالات به لایه مرزی موسوم است) واقع می شود. در این حالت حد نهایی داشتن پاسخ ها تضمین می گردد که البته این حد می تواند بسیار به صفر نزدیک باشد. جهت توضیحات تکمیلی در این زمینه به مراجع معتبری نظری مرجع [۳۳، ۱۰] مراجعه شود.



شکل ۲: منحنی $\tanh(s(t)/\varepsilon)$

تذکر ۴: با در نظر گرفتن تذکر قبل و این مطلب که پس از اعمال تقریب ذکر شده جهت کاهش چترینگ، (۱۸) تا قبل از رسیدن به لایه مرزی کاهشی بوده و با قرار گرفتن در لایه مرزی مقدار کوچک غیر صفر خواهد داشت، لذا رابطه (۱۸) جهت قانون کنترلی (۳۲) به صورت زیر اصلاح می گردد که در آن $q = \eta \gamma_1^3(t)$ است [۲۷]. در شبیه سازی ها از این مطلب استفاده گردیده است.

$$\begin{aligned} V' &\leq |s(t)| \left(|f(x,t) - g(y,t)| + \lambda + d + \left| \sum_{i=1}^{n-1} c_i e_{i+1}(t) \right| \right) \\ &\quad - \gamma \gamma_1(t) \eta |s(t)| + \tilde{\lambda}(t) |s(t)| - \gamma_2(t) \gamma_1^{-2}(t) \eta \gamma_1^3(t) |s(t)| \\ &= |s(t)| (|f(x,t) - g(y,t)| + d + \left| \sum_{i=1}^{n-1} c_i e_{i+1}(t) \right| \\ &\quad + \mu \hat{\lambda}(t) - \mu \hat{\lambda}(t) + \lambda) - \gamma \gamma_1(t) \eta |s(t)| \\ &\quad + \tilde{\lambda}(t) |s(t)| - \gamma_2(t) \eta \gamma_1(t) |s(t)| \\ &= |s(t)| (\eta + \lambda - \mu \hat{\lambda}(t) - \gamma \gamma_1(t) \eta) \\ &\quad + \tilde{\lambda}(t) |s(t)| - \gamma_2(t) \eta \gamma_1(t) |s(t)| \end{aligned} \quad (۲۸)$$

با توجه به روابط $\tilde{\lambda}(t) = \hat{\lambda}(t) - \lambda$ و $\gamma_2(t) = \gamma_1^{-1}(t) - \gamma$ و زیر محقق می گردد:

$$\begin{aligned} V' &\leq |s(t)| (\eta + \lambda - \mu \hat{\lambda}(t) - (\gamma_1^{-1}(t) - \gamma_2(t)) \gamma_1(t) \eta) \\ &\quad + (\hat{\lambda}(t) - \lambda) |s(t)| - \gamma_2(t) \eta \gamma_1(t) |s(t)| \\ &= \hat{\lambda}(t) |s(t)| (1 - \mu) = -\omega(t) \leq 0 \end{aligned} \quad (۲۹)$$

که در آن $(1 - \mu) \omega(t) = -\hat{\lambda}(t) |s(t)|$ با $\mu > 1$ مثبت است. با انتگرال گیری از صفر تا t رابطه (۲۸) به صورت زیر حاصل می شود:

$$V(t) \leq V(0) - \int_0^t \omega(\lambda) d\lambda \quad (۳۰)$$

بنابراین $V(t) \leq 0$ پس $V(t) - V(0) \leq 0$ منفی و محدود است بنابراین $\lim_{t \rightarrow \infty} \int_0^t \omega(\lambda) d\lambda$ وجود دارد و محدود است. از این رو بنا بر لم باریلات نتیجه زیر حاصل می گردد [۱۴، ۲۷، ۲۸]:

$$\lim_{t \rightarrow \infty} \omega(\lambda) = \lim_{t \rightarrow \infty} \hat{\lambda}(t) |s(t)| (\mu - 1) = 0 \quad (۳۱)$$

از آنجایی که $(1 - \mu) \hat{\lambda}(t)$ بزرگ تر از صفر است بنابراین در رابطه (۳۱) $s(t)$ به صفر همگرا می شود.

بنابراین با توجه به بحث های ارائه شده هر دو فاز مد لغزشی محقق می شوند. لذا در کل متغیرهای حالت بردار خطای همگرا می شوند و در واقع همزمان سازی در حضور ترم های نایقینی و اشباع سیگنال کنترلی رخ می دهد.

تذکر ۲: از آنجایی که (۱۳) بنا بر تعریف آن در رابطه (۱۳) یک تابع پیوسته، یکنواخت است و همچنین بنا بر اثبات ارائه گردیده، محدود و کاهشی نیز هست، لذا (۱۸) در رابطه $\gamma_1(t) = \gamma_1^{-1}(t) - \gamma$ یک تابع محدود می باشد. علاوه بر این بر اساس اثبات پایداری لیپانوف ارائه شده و کاهشی بودن تابع لیپانوف مذکور، $\gamma_2(t) = \gamma_1^{-1}(t) - \gamma$ در رابطه (۱۹) نیز با گذشت زمان به صفر همگرا خواهد شد. بنابراین با گذشت زمان $\gamma_1(t)$ به مقدار ثابت $\gamma/1$ همگرا می شود. از طرف دیگر پارامتر $\hat{\lambda}(t)$ نیز محدود است، هم به دلیل رابطه (۱۹) و کاهشی بودن هم بر اساس پایداری لیپانوف ارائه شده و کاهشی بودن تابع لیپانوف، $\hat{\lambda}(t)$ با گذشت زمان به صفر همگرا خواهد شد. لذا بر اساس رابطه (۲۱)، $\hat{\lambda}(t)$ به مقدار ثابت λ میل خواهد کرد. علاوه بر این پارامتر η در رابطه (۱۷) نیز با

$$\begin{aligned} \dot{e}_1(t) &= e_2(t) \\ \dot{e}_2(t) &= -0.5e_2 - 0.05(x_2^3 - y_2^3) - 100\left(\frac{(1-\cos x_1)^2}{\sin^3 x_1}\right. \\ &\quad \left.- \frac{(1-\cos y_1)^2}{\sin^3 y_1}\right) + (1+35.5\sin\omega t)(\sin x_1 - \sin y_1) \\ &\quad + \Delta f(x, t) - \Delta g(y, t) + d_1(t) - d_2(t) - \phi(u(t)) \end{aligned} \quad (36)$$

جهت شبیه‌سازی، عدم قطعیت‌ها، اغتشاشات خارجی و مقادیر اولیه به صورت

$$\begin{aligned} \Delta g(y, t) &= -0.2\sin(5y_1), \\ d_2(t) &= 0.4\cos(3t), \quad d_1(t) = 0.3\sin(5t), \quad \Delta f(x, t) = 0.8\cos(t)x_1 \\ (y_1(0), y_2(0)) &= (2, 2), \quad (x_1(0), x_2(0)) = (1, -1) \end{aligned}$$

سطح لغزش و قانون کنترلی نیز به صورت زیر تعریف می‌شوند:

$$s(t) = e_2(t) + c_1 e_1(t) \quad (37)$$

$$\begin{aligned} u(t) &= \gamma_1(t) \left(\sum_{i=1}^{n-1} c_i e_{i+1} \right) + |f(x, t) - g(y, t)| + d + \mu \hat{u}(t) \\ &\quad \tanh\left(\frac{s(t)}{\varepsilon}\right) \end{aligned} \quad (38)$$

$$\gamma_1(t) = \gamma_1(0) + \int_0^t \eta(\tau) \gamma_1^3(\tau) |s(\tau)| d\tau \quad \gamma_1(0) \in R^+ \quad (39)$$

در آن ضرایب به صورت $d = 1, \mu = 7, \varepsilon = 0.5, c_1 = 8$ انتخاب می‌شود.

شکل (۴) مؤلفه‌های بردار خطای بدون کنترل کننده نشان می‌دهد، همان‌طور که مشاهده می‌شود بدون کنترل کننده عملکرد مناسبی حاکم نیست. شکل (۵) همگرا شدن بردارهای خطای به صفر را در حضور قانون کنترل پیشنهادی با دامنه اشباع نامتقارن $-8 \leq u_H = 5, -u_L = -5$ نشان دارد. نمودار سطح لغزش پیشنهادی و کنترل کننده طراحی شده با دامنه اشباع $-8 \leq u_H = 5, -u_L = -5$ در شکل‌های (۶) و (۷) نمایش داده شده‌اند. همان‌طور که شکل (۸) نشان می‌دهد علی‌رغم اینکه سیگنال کنترلی به اشباع رفته است مسئله همزمان‌سازی محقق شده است.

همچنین بار دیگر شبیه‌سازی‌ها به ازای دامنه اشباع $-5 \leq u_H = 4, -u_L = -5$ صورت گرفته است تا نشان دهد که کنترل کننده پیشنهادی علی‌رغم دامنه اشباع محدود‌تر نیز عملکرد مطلوبی دارد. شکل (۸) پاسخ زمانی متغیرهای حالت سیستم را بدون کنترل کننده نمایش می‌دهد. شکل (۹) همزمان شدن متغیرهای حالت سیستم را در حضور قانون کنترلی با دامنه اشباع نامتقارن $-5 \leq u_H = 4, -u_L = -5$ نشان می‌دهد. همگرا شدن بردارهای خطای به صفر، نمودار سطح لغزش پیشنهادی و کنترل کننده طراحی شده با دامنه اشباع پیشنهادی و کنترل کننده طراحی شده با دامنه اشباع شده‌اند. درنهایت شکل (۱۳) عملکرد مناسب پارامترهای همگرا شده‌اند؛ که مؤید مطالب ارائه شده در تذکر ۲ است.

$$\dot{y}_1(t) = \begin{cases} q|s(t)|, & |s(t)| \geq \tau \\ 0, & |s(t)| < \tau \end{cases} \quad (33)$$

۴- شبیه‌سازی‌های کامپیوتوی

در این بخش شبیه‌سازی‌هایی به منظور تأیید کارایی و عملکرد مطلوب قانون کنترلی پیشنهادی برای همزمان‌سازی دو سیستم آشوبی ژیروسکوپ به کار می‌روند.

ژیروسکوپ‌ها سنسورهایی هستند که از آن‌ها جهت به دست آوردن سرعت و موقعیت زاویه‌ای اجسامی مانند موشک، ماهواره و یا گوشی‌های تلفن همراه استفاده می‌شود و از طریق همزمان‌سازی دو سیستم ژیروسکوپ و پردازش این اطلاعات می‌توان موقعیت کلی جسم را محاسبه و کنترل کرد. معادلات اصلی و پیرو مریبوط به دو سیستم ژیروسکوپ متقاضی غیرخطی به صورت زیر است [۲۹-۳۲].

سیستم اصلی:

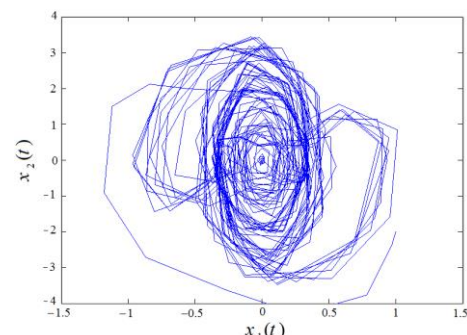
$$\begin{aligned} \dot{x}_1 &= x_2 \\ \dot{x}_2 &= -k_1 x_2 - k_2 x_2^3 - \alpha^2 \frac{(1-\cos x_1)^2}{\sin^3 x_1} + (\beta + f \sin \omega t) \\ &\quad . \sin x_1 + \Delta f(x, t) + d_1(t) \end{aligned} \quad (34)$$

سیستم پیرو:

$$\begin{aligned} \dot{y}_1 &= y_2 \\ \dot{y}_2 &= -k_1 y_2 - k_2 y_2^3 - \alpha^2 \frac{(1-\cos y_1)^2}{\sin^3 y_1} + (\beta + f \sin \omega t) \\ &\quad . \sin y_1 + \Delta g(y, t) + d_2(t) + \phi(u(t)) \end{aligned} \quad (35)$$

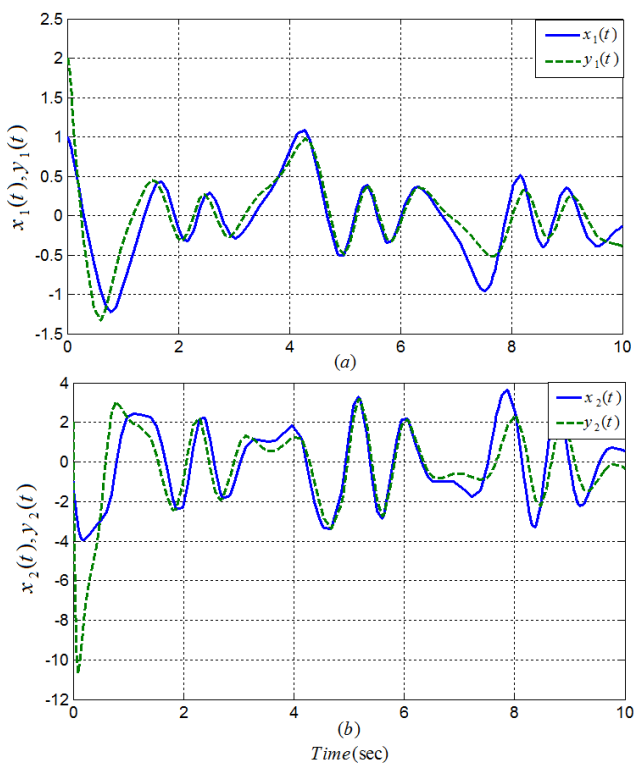
که در آن ضرایب $f = 35.5, \alpha^2 = 100, \beta = 1, k_1 = 0.5, k_2 = 0.05$ و $d_2, d_1, \Delta f, \Delta g, \omega = 2$ هستند.

در مرجع [۳۲] نشان داده شده است که سیستم فوق به ازای ضرایب مذکور و بدون در نظر گرفتن ترموماتی نایقینی دارای رفتار آشوبی است. شکل (۳) مؤید این مطلب می‌باشد.

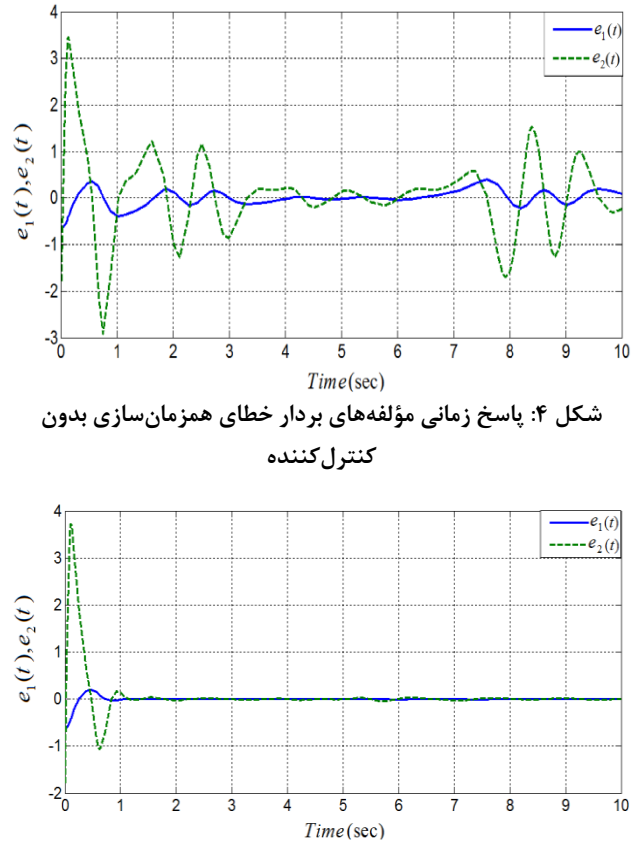


شکل ۳: منحنی فاز ژیروسکوپ غیرخطی آشوبی

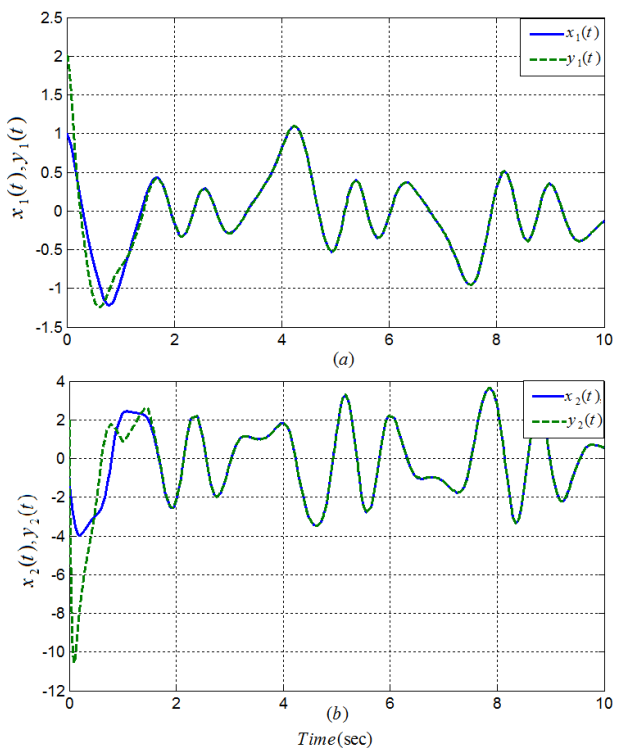
با توجه به روابط (۳۴) و (۳۵) دینامیک خطای به صورت زیر حاصل می‌شود:



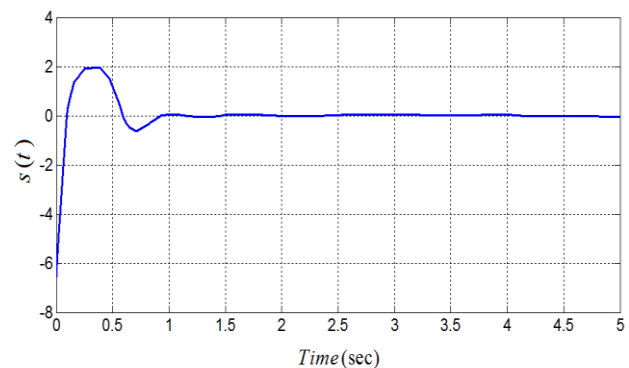
شکل ۴: پاسخ زمانی متغیرهای حالت سیستم بدون کنترل کننده؛
متغیرهای حالت $x_1(t), y_1(t)$ و $x_2(t), y_2(t)$



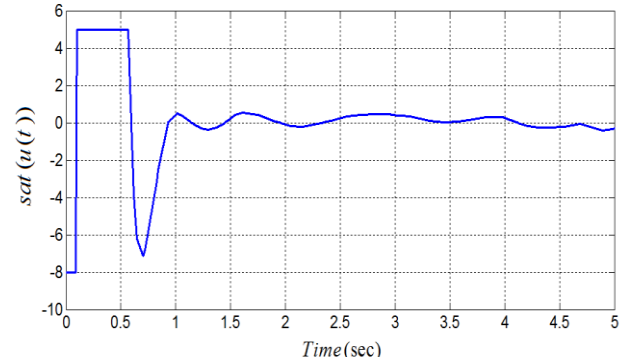
شکل ۵: پاسخ زمانی مؤلفه‌های بردار خطای همزمان‌سازی تحت
کنترل کننده با حد اشباع $u_H = 5, -u_L = -8$



شکل ۶: پاسخ زمانی سطح لغزش پیشنهادی با حد اشباع
 $u_H = 5, -u_L = -8$
پیشنهادی با حد اشباع $u_H = 4, -u_L = -5$

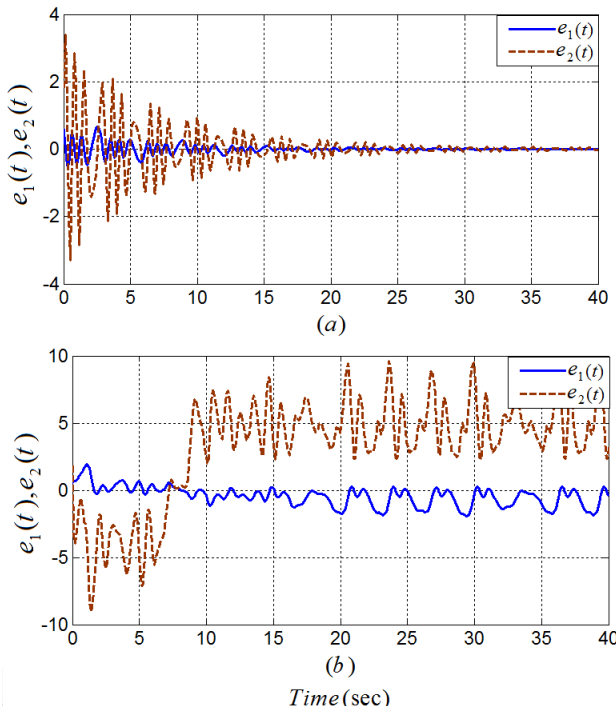


شکل ۷: پاسخ زمانی سیگنال کنترلی پیشنهادی با حد اشباع
 $u_H = 5, -u_L = -8$



شکل ۸: پاسخ زمانی سیگنال کنترلی پیشنهادی با حد اشباع
 $u_H = 5, -u_L = -8$

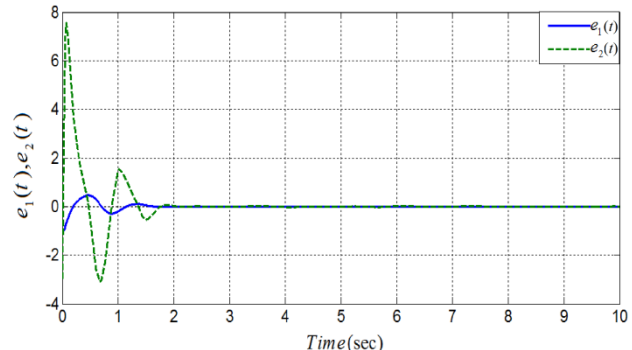
در مرجع [۲۹] قانون کنترلی پیشنهادشده است که جهت همزمان‌سازی دو سیستم زیروسکوپ تحت کنترل کننده فعال به کار می‌رود. حال اگر سیگنال کنترلی در حضور اشباع محرک با دامنه $u_H = 4, -u_L = -5$ قرار گیرد عملکرد کنترل کننده پیشنهادی در مرجع مذکور مختلف می‌شود و همزمان‌سازی رخ نمی‌دهد و این امر باعث ناپایداری در سیستم حلقه بسته می‌گردد که شکل‌های (۱۰) و (۱۱) بیان‌گر این مطلب هستند. همچنین مقایسه‌ای بین کنترل پیشنهادی این مقاله با کنترل کننده پیشنهادی در مرجع [۳۲] نیز صورت گرفته است. مرجع [۳۲] به همزمان‌سازی زمان محدود دو سیستم زیروسکوپ پرداخته است. همان‌طور که در شکل‌های (۱۲) و (۱۳) مشاهده می‌شود پاسخ سیستم تحت کنترل کننده پیشنهادی [۳۲] و با در نظر گرفتن اشباع دچار اختلال می‌گردد؛ بنابراین این نتایج کارایی موفق قانون کنترلی پیشنهادی در این مقاله را در همزمان‌سازی سیستم‌های اصلی و پیرو در حضور ترم‌های نایقینی در مدل و علی‌رغم قید اشباع نامتقارن ورودی کنترلی نشان می‌دهد.



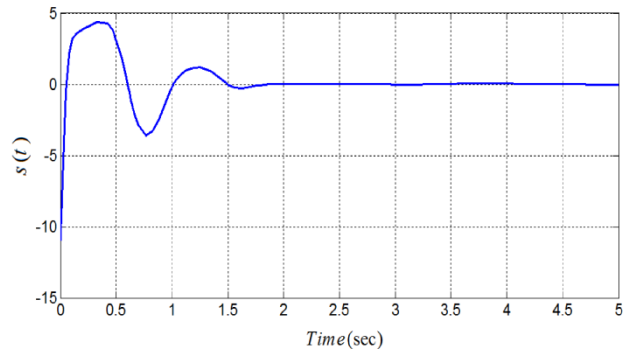
شکل ۱۴: پاسخ زمانی مؤلفه‌های بردار خطای همزمان‌سازی تحت کنترل کننده پیشنهادی در مرجع [۲۹]: (a) بدون در نظر گرفتن اشباع محرک، (b) با در نظر گرفتن اشباع محرک با $u_H = 4, -u_L = -5$

۵- نتیجه‌گیری

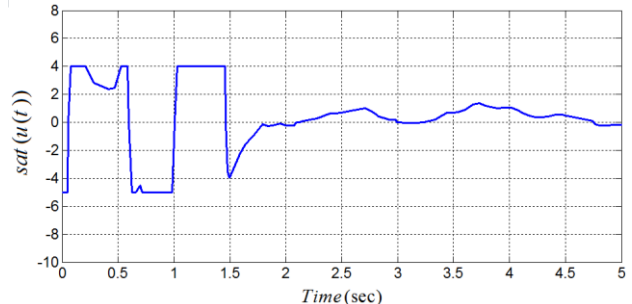
در این مقاله معادلات دینامیکی اصلی و پیرو سیستم‌های آشوبی غیرخطی در حضور اشباع محرک بررسی گردید و معادلات دینامیکی خطای بر اساس این معادلات نوشته شد. بهدلیل وجود ترم‌های نایقینی و همچنین قید اشباع محرک که می‌تواند نامتقارن نیز باشد در معادلات خطا، نیاز به طراحی قانون کنترل مقاوم بود. برای این منظور از رویکرد



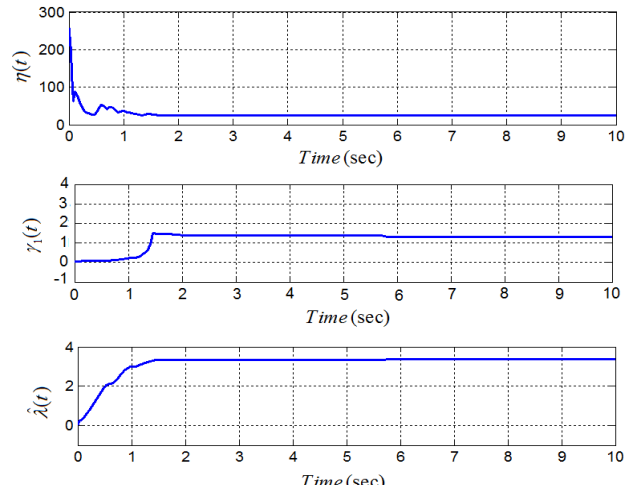
شکل ۱۰: پاسخ زمانی مؤلفه‌های بردار خطای همزمان‌سازی تحت کنترل کننده با حد اشباع 5
 $u_H = 4, -u_L = -5$



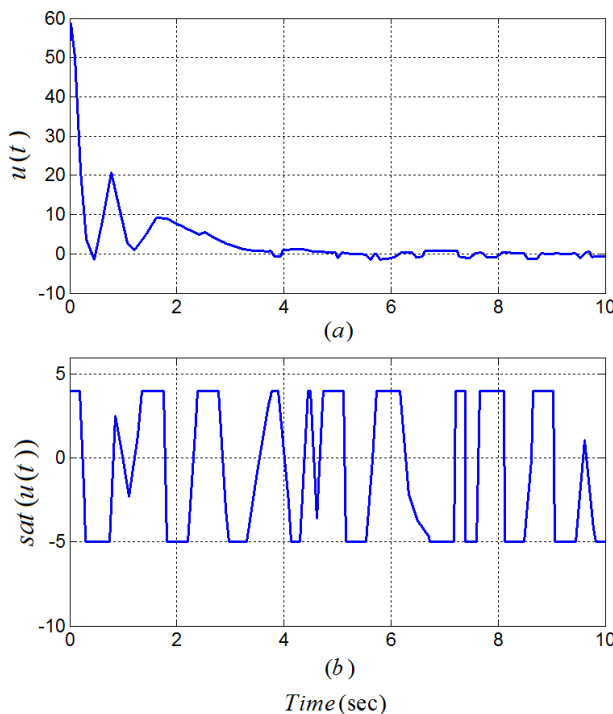
شکل ۱۱: پاسخ زمانی سطح لغزش پیشنهادی با حد اشباع
 $u_H = 4, -u_L = -5$



شکل ۱۲: پاسخ زمانی سیگنال کنترلی پیشنهادی با حد اشباع
 $u_H = 4, -u_L = -5$



شکل ۱۳: پاسخ زمانی پارامترهای $(\eta(t), \gamma_1(t), \lambda(t))$ با حد اشباع
 $u_H = 4, -u_L = -5$



شکل ۱۷: پاسخ زمانی سیگنال کنترلی پیشنهادی در مرجع [۳۲]:
(a) بدون در نظر گرفتن اشباع محرک، (b) با در نظر گرفتن اشباع

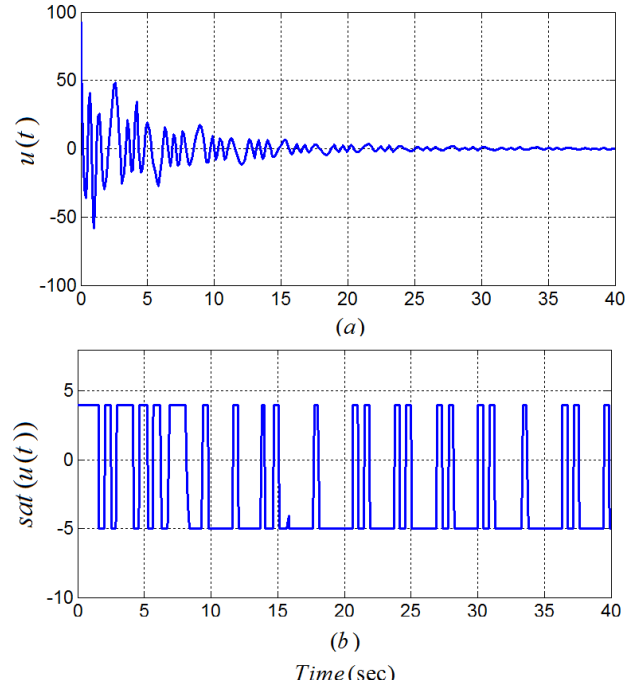
$$\text{محرك با } u_H = 4, -u_L = -5$$

سپس قانون کنترلی (بر اساس سطح پیشنهادی) طراحی گردید و بر اساس تئوری لیاپانوف اثبات گردید که حرکت روی این سطح منجر به پایداری معادلات کاوش مرتبه یافته علی‌رغم وجود ترموماتی نایقینی و قید اشباع محرک می‌گردد. همچنین بهمنظور تأیید کارایی قانون کنترلی پیشنهادی در سیستم‌های عملی ازان‌جهت همزمان‌سازی دو سیستم آشوبی ژیروسکوپ استفاده شد. درنهایت شبیه‌سازی‌ها عملکرد خوب قانون کنترلی پیشنهادی را در همزمان‌سازی مقاوم نشان دادند.

مراجع

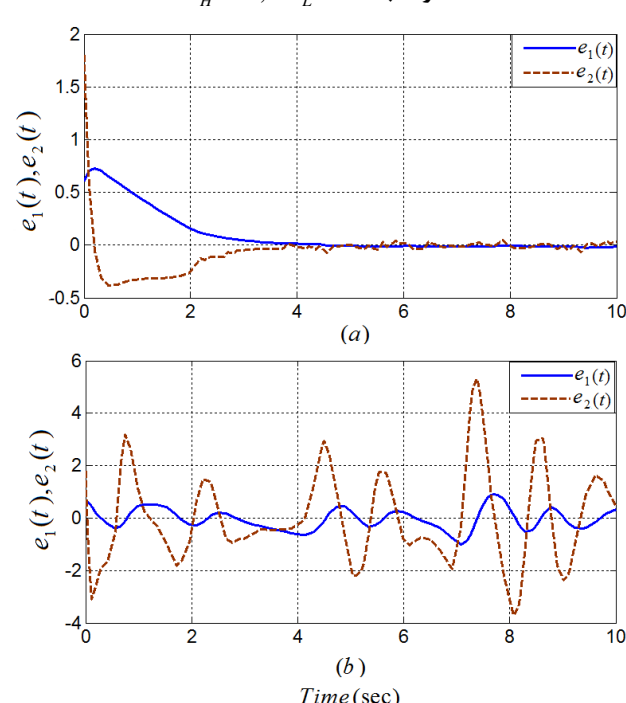
- [1] B. Nana, P. Woafo and S. Domngang, "Chaotic synchronization with experimental application to secure communications," *Communications in nonlinear science and Numerical Simulation*, vol. 14, no. 5, pp. 2266–76, 2009.
- [2] J.M.V. Grzybowski, M. Rafikov and J.M. Balthazar, "Synchronization of the unified chaotic system and application in secure communication," *Communications in Nonlinear Science and Numerical Simulation*, vol. 14, no. 6, pp. 2793–806, 2009.
- [3] M. Shahzad, "Chaos synchronization of an ellipsoidal satellite via active control," *Progress in Applied Mathematics*, vol. 3, no. 2, pp. 16–23, 2012.
- [4] T. Yang, "A survey of chaotic secure communication systems," *International Journal of Computational Cognition*, vol. 2, no. 1, pp. 8–130, 2004.
- [5] V. Annovazzi-Lodi, S. Donati and A. Scire, "Synchronization of xhoatic injected-laser systems and its application to optical ryptography," *IEEE journal of Quantum Electronics*, vol. 32, no. 6, pp. 953–959, 1996.

مد لغزشی در طراحی قانون کنترلی استفاده شد و سطح لغزش مناسبی بر اساس معادلات خطاط طراحی گردید. همچنین بهدلیل وجود ترموماتی نایقینی جهت کم کردن میزان محافظه‌کاری در برخورد با این ترموماتی رویکرد تطبیقی نیز در این زمینه استفاده شد.



شکل ۱۵: پاسخ زمانی سیگنال کنترلی پیشنهادی در مرجع [۲۹]:
(a) بدون در نظر گرفتن اشباع محرک، (b) با در نظر گرفتن اشباع

$$\text{محرك با } u_H = 4, -u_L = -5$$



شکل ۱۶: پاسخ زمانی مؤلفه‌های بردار خطای همزمان‌سازی تحت کنترل کننده پیشنهادی در مرجع [۳۲]: (a) بدون در نظر گرفتن اشباع محرک، (b) با در نظر گرفتن اشباع محرک با

$$\text{محرك با } u_H = 4, -u_L = -5$$

[۲۰] بدرالزمان حسینی، مهدی سجودی و عباس چترایی، «طراحی مشاهده‌گر مقاوم و فیدبک خروجی برای سیستم‌های چندعاملی دارای تأخیر بازه‌ای و متأثر از نامعینی و اغتشاش»، مجله مهندسی برق دانشگاه تبریز، جلد ۴۶، شماره ۱، صفحات ۱۲۰-۹۵، بهار ۹۹.

- [21] S. Hamel and A. Boulkroune, "A generalized function projective synchronization scheme for uncertain chaotic systems subject to input nonlinearities," *International Journal of General Systems*, vol. 45, no. 6, pp. 689-710, 2016.
- [22] M. Rehan, "Synchronization and anti-synchronization of chaotic oscillators under input saturation," *Applied Mathematical Modelling*, vol. 37, no. 10, pp. 6829-6837, 2013.
- [23] G. Wenzhi and R.R. Selmic, "Neural network control of a class of nonlinear systems with actuator saturation," *Neural Networks, Electrical and Electronics Engineers Transactions*, vol. 17, no. 1, pp. 147-156, 2006.
- [24] Z.G. Wu and et al, "Local synchronization of chaotic neural networks with sampled-data and saturating actuators," *Cybernetics, IEEE Transactions*, vol. 44, no. 12, pp. 2635-2645, 2014.
- [25] Y.S. Zhong, "Globally stable adaptive system design for minimum phase SISO plants with input saturation," *Automatica*, vol. 41, no. 9, pp. 1539-1547, 2005.
- [26] D. Lin, X. Wang and Y. Yao, "Fuzzy neural adaptive tracking control of unknown chaotic systems with input saturation." *Nonlinear Dynamics*, vol. 67, no. 4, pp. 2889-2897, 2012.
- [27] H.T. Yau and C.L. Chen, "Chaos control of Lorenz systems using adaptive controller with input saturation," *Chaos, Solitons & Fractals*, vol. 34, no. 5, pp. 1567-1574, 2007.
- [28] Q. Hu, "Adaptive output feedback sliding-mode manoeuvring and vibration control of flexible spacecraft with input saturation," *IET Control Theory & Applications*, vol. 2, no. 6, pp. 467-478, 2008.
- [29] Y. Lei, W. Xu and H. Zheng, "Synchronization of two chaotic nonlinear gyros using active control." *Physics Letters A*, vol. 343, no. 1, pp. 153-158, 2005.
- [30] J.J. Yan, M.L. Hung and T.L. Liao, "Adaptive sliding mode control for synchronization of chaotic gyros with fully unknown parameters," *Journal of Sound and Vibration*, vol. 298, no 1, pp. 298-306, 2006.
- [31] M.R. Behjameh, H. Delavari and A. Vali, "Global finite time synchronization of two nonlinear chaotic gyros using high order sliding mode control," *Journal of Applied*, vol. 1, no. 1, pp. 26-34, 2015.
- [۳۲] سمانه محمدپور، «همزمان‌سازی زمان محدود و مقاوم دو سیستم ژیروسکوپ آشوبی توسط کنترل کننده مد لغزشی ترمیتالی»، سومین کنفرانس بین‌المللی پژوهش‌های کاربردی در مهندسی برق، مکانیک و مکاترونیک، تهران - دانشگاه مالک اشتر، زمستان ۹۴.
- [33] H.K. Khalil, "Nonlinear control," Prentice Hall. 2014.

- [6] B.R. Andrievskii and A.L. Fradkov, "Control chaos: method and application," *Automation and Remote Control*, vol. 64, no. 1, pp. 673-713, 2003.
- [7] K.S. Ojo, A.N. Njah and S.T. Ogunjo, "Comparison of backstepping and modified active control in projective synchronization of chaos in an extended bonner-Van Der Pol oscillator," *Pramana*, vol. 80, no. 5, pp. 825-835, 2013.
- [8] S. Vaidyanathan and S. Rasappan, "Global chaos synchronization of n-scroll Chua circuit and Lur'e system using backstepping control design with recursive feedback," *Arabian Journal for Science and Engineering*, vol. 39, no. 4, pp. 3351-3364, 2014.
- [9] D. Ye and X. Zhao, "Robust adaptive synchronization for a class of chaotic systems with actuator failures and nonlinear uncertainty," *Nonlinear Dynamics*, vol. 76, no. 2, pp. 973-983, 2014.
- [10] M.P. Aghababa and S. Khanmohammadi, "Finite-time synchronization of two different chaotic systems with unknown parameters via sliding mode technique," *Applied Mathematical Modelling*, vol. 35, no. 6, pp. 3080-3091, 2011.
- [11] P. Bagheri, M. Shahrokhi and H. Salarieh, "Adaptive observer-based synchronization of two non-identical chaotic systems with unknown parameters," *Journal of Vibration and Control*, vol. 1, no. 1, pp. 1-11, 2015.
- [12] J. Qiang, "Projective synchronization of a new hyper chaotic lorenz system," *Physics Letters A*, vol. 370, no. 1, pp. 40-5, 2007.
- [13] A. Boulkroune, A. Bouzeriba and T. Bouden, "Fuzzy generalized projective synchronization of incommensurate fractional-order chaotic systems," *Neurocomputing*, vol. 173, no. 3, pp. 606-614, 2016.
- [14] H. Kebraei and M.J. Yazdanpanah, "Robust adaptive synchronization of different uncertain chaotic systems subject to input nonlinearity," *Communications in Nonlinear Science and Numerical Simulation*, vol. 15, no. 2, pp. 430-441, 2010.
- [15] W. Xiang and F. Chen, "An adaptive sliding mode control scheme for a class of chaotic systems with mismatched perturbations and input nonlinearities," *Communications in Nonlinear Science and Numerical Simulation*, vol. 16, no. 1, pp. 1-9, 2011.
- [16] J. Sun and et al, "Finite-time combination-combination synchronization of four different chaotic systems with unknown parameters via sliding mode control," *Nonlinear Dynamics*, vol. 76, no 1, pp. 383-397, 2014.
- [17] A. Ouannas and Z. Odibat, "Generalized synchronization of different dimensional chaotic dynamical systems in discrete time," *Nonlinear Dynamics*, vol. 81, no. 1, pp. 765-771, 2015.
- [18] J.H. Park, "Exponential synchronization of the Genesio-Tesi chaotic system via a novel feedback control," *Physica Scripta*, vol. 76, no. 6, pp. 617-22, 2007.
- [۱۹] علی انشایی و رحمت‌الله هوشمند، «یک روش جدید برای شناسایی اغتشاشات کیفیت توان با استفاده از تبدیل ^۱_۲»، مجله مهندسی برق دانشگاه تبریز، جلد ۴۵، شماره ۴، صفحات ۳۷-۴۹، زمستان ۹۴.

زیرنویس‌ها

^۳ Dead-Zone

^۴ Chaotic Gyro

^۱ Master

^۲ Slave